

ИЗМЕНЕНИЕ МОЩНОСТИ ПАРОВОДНОЙ МАШИНЫ КОМПАУНД ПРИ ИЗМЕНЕНИИ СТЕПЕНИ НАПОЛНЕНИЯ

И. Н. БУТАКОВ и Е. Н. ШАДРИН

Среднее индикаторное давление, как известно, может быть для ЦВД выражено в виде

$$P_i' = \sigma_{цвд} \cdot (K_1 P_1 - K_r p P_r),$$

где K_1 — усредняющий коэффициент переднего давления, K_r — то же заднего давления, каковым является $p P_r$, причем P_r — давление при впуске в ЦНД, а $p \cong 1,05$ — коэффициент, характеризующий падение давления при перетекании пара из ЦВД. При изменении степени наполнения ЦВД будут меняться K_1 , K_r и P_r . Для K_1 в случае насыщенного пара имеем

$$K_1 = \alpha_{цвд} \cdot \varepsilon + \beta_{цвд} \cdot (\varepsilon + m) \cdot \ln \frac{1+m}{\varepsilon+m},$$

где m — вредное пространство ЦВД в долях рабочего объема цилиндра, $\alpha_{цвд} \cong 0,93$ — усредняющий коэффициент впуска, а $\beta_{цвд} = 0,85$ — коэффициент, характеризующий падение давления в момент отсечки. Положив $x = \varepsilon + m$, преобразовываем

$$K_1 = \alpha_{цвд} \cdot x - \alpha_{цвд} \cdot m + \beta_{цвд} \cdot x \cdot \ln(1+m) - \beta_{цвд} - x \cdot \ln x.$$

Чтобы избавиться от $\ln x$, прибегаем к разложению в строку, причем для возможности игнорирования всех членов разложения, начиная со второго, x под знаком \ln умножим на некоторый множитель $\psi > 1$, прибавив временно величину $\beta_{цвд} \cdot x \cdot \ln \psi$. Тогда

$$K_1 = x[\alpha_{цвд} + \beta_{цвд} \cdot \ln(1+m) + \beta_{цвд} \cdot \ln \psi] - \alpha_{цвд} \cdot m - 2\beta_{цвд} \cdot x \cdot \frac{\psi x - 1}{\psi x + 1}$$

или

$$\begin{aligned} & \psi[\alpha_{цвд} + \beta_{цвд} \cdot \ln(1+m) + \beta_{цвд} \cdot \ln \psi - 2\beta_{цвд}] x^2 + \\ & + [\alpha_{цвд} + \beta_{цвд} \cdot \ln(1+m) + \beta_{цвд} \cdot \ln \psi - \alpha_{цвд} \cdot m \cdot \psi + 2\beta_{цвд} - \psi K_1] x - \\ & - K_1 - \alpha_{цвд} \cdot m = 0. \end{aligned} \quad (1)$$

Это уравнение гиперболы. Считая, что в пароводных машинах обычные колебания $x = 0,3 \div 0,8$, для возможности игнорирования второго члена

$$\frac{2}{3} \beta_{цвд} \cdot x \left(\frac{\psi x - 1}{\psi x + 1} \right)^3$$

разложения в строку $\ln \psi x$ принимаем

$$\psi = \frac{1}{x} = 3,3 - 1,25,$$

держась ближе к средним значениям $\psi = 2 \div 2,5$ и так, чтобы множитель при x^2 уравнения (1) превращался в нуль в целях упрощения задачи.

Если взять $\beta_{цвд} = 0,85$; $\alpha_{цвд} = 0,93$; $m = 0,08$, получим $\psi = 2,3$, когда указанный множитель делается равным нулю. Тогда для определения асимптот имеем

$$K_1 = \frac{[\alpha_{цвд} + \beta_{цвд} \cdot \ln(1 + m) + \beta_{цвд} \cdot \ln \psi - \alpha_{цвд} \cdot m \cdot \psi + 2\beta_{цвд}] - \alpha_{цвд} \cdot m}{\psi x + 1} =$$

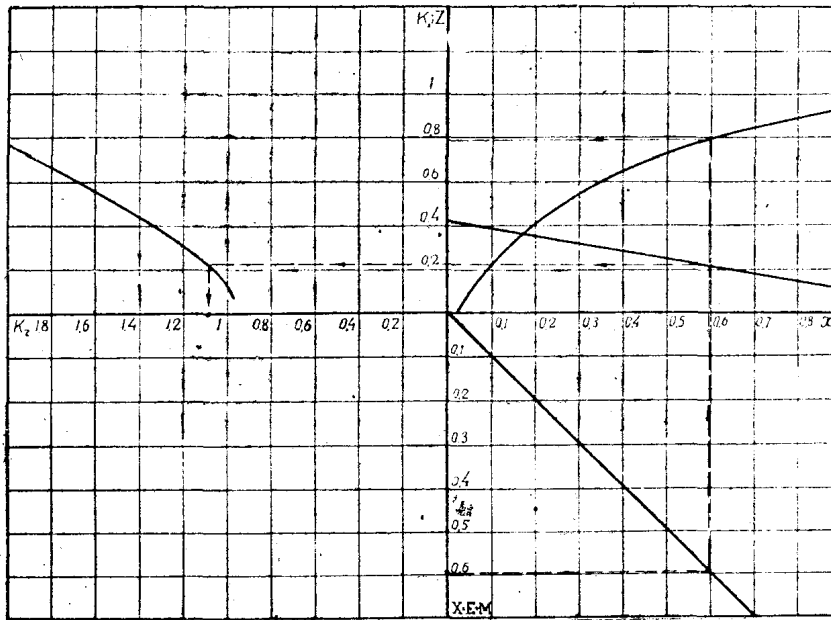
$$= \frac{[\alpha_{цвд} + \beta_{цвд} \cdot \ln(1 + m) + \beta_{цвд} \cdot \ln \psi - \alpha_{цвд} \cdot m \cdot \psi + 2\beta_{цвд}]}{\psi}$$

$$= \frac{[\alpha_{цвд} + \beta_{цвд} \cdot \ln(1 + m) + \beta_{цвд} \cdot \ln \psi - \alpha_{цвд} \cdot m \cdot \psi + 2\beta_{цвд}]}{\psi x + 1} - \alpha_{цвд} \cdot m$$

Если $K_1 = \infty$, то $\psi x + 1 = 0$ или $x = -\frac{1}{\psi}$. Если $x = \infty$, то

$$K_1 = -\alpha_{цвд} \cdot m + \frac{4\beta_{цвд}}{\psi}.$$

Для указанных ниже численных значений частного примера имеем $K_1 = 1,4$ и $x = -0,43$. Необходимую точку для построения гиперболы



Фиг. 1

найдем, полагая $x = 0$, когда $K_1 = -0,074$. Гипербола K_1 построена на фиг. 1, как функция x .

Что касается коэффициента заднего давления K_r , то для него имеем

$$K_r = 1 - c + \varphi(c + m) \ln \frac{c + m}{m} = 1 - z(1 + \varphi \ln m) + m + \varphi z \ln z,$$

если обозначить $z = c + m$, а через φ — коэффициент, характеризующий мятие пара к моменту начала сжатия, $\varphi = 1,1$. Зная, что z обычно нахо-

дится в пределах $z = 0,1 \div 0,4$ и, следовательно, множитель при z под знаком \ln при разложении в строку с игнорированием второго члена разложения может быть $\psi_1 = 10 \div 2,5$, позволительно принять $\psi_1 = 5$, учитывая, что $K_r > 1$, почему неточность от исключения второго члена разложения будет ничтожной. Тогда получаем

$$\psi [2\varphi - 1 - \varphi \ln(m\psi_1)] z^2 + [\psi_1(1+m) - 2\varphi - 1 - \varphi \ln(m\psi)] z - \psi_1 K_r z - K_r + 1 + m = 0, \quad (2)$$

т. е. опять зависимость $K_r = f(z)$ гиперболическая.

Полагая $z = 0$, найдем точку гиперболы, необходимую для ее построения, когда $K_r \approx 1 + m = 1,08$. Для определения асимптот имеем

$$K_r = \frac{Az^2 + \beta z + 1 + m}{\psi_1 z + 1} = \frac{Az}{\psi_1} + \frac{\beta - \frac{A}{\psi_1}}{\psi_1} - \frac{\beta - \frac{A}{\psi_1} - 1 - m}{\psi_1 z + 1}.$$

При $K_r = \infty$ получаем

$$z = -\frac{1}{\psi_1} = -0,2.$$

Для второй асимптоты имеем уравнение прямой

$$K_r = \frac{Az}{\psi_1} + \frac{\beta - \frac{A}{\psi_1}}{\psi_1} = [2\varphi - 1 - \varphi \ln(m\psi_1)] z + 1 + m - \frac{4\varphi}{\psi_1}.$$

Гипербола построена на той же фиг. 1 с расположением ее в левом верхнем углу прямоугольных координат (второй квадрант) по причине, видной из нижеследующего.

Между степенью наполнения ϵ и степенью сжатия c существует в каждой паровой машине своя определенная зависимость. Последняя для золотниковых приводов, обеспечивающих равенство линейных опережений впуска при изменениях степени наполнения ϵ (Джоя, Гакворта, Клуга и др.), близка к прямой вида $c \cong a_1 - b_1 \cdot \epsilon$, где a_1 и b_1 — некоторые постоянные меньше единицы, разные для разных машин. На фиг. 2 изображена, например, такая зависимость для ЦВД вида $c = 0,31 - 0,35 \epsilon$, и следовательно,

$$z = c + m = a_1 + m + b_1 m - b_1 x \cong u_1 - b_1 x = 0,42 - 0,35 x.$$

При откладывании x по оси абсцисс в первом квадранте (фиг. 1) значения z получаются на оси ординат этого же квадранта, так что величины K_r для значений z , а следовательно, и x , удобно иметь на оси абсцисс второго квадранта.

Обращаясь теперь к изменениям P_r в зависимости от x , запишем уравнение постоянства весового количества пара, проходящего через машину

$$\gamma_1 F_1(m_0 + \epsilon) = \gamma_r F_2(M_0 + E), \quad (3)$$

где

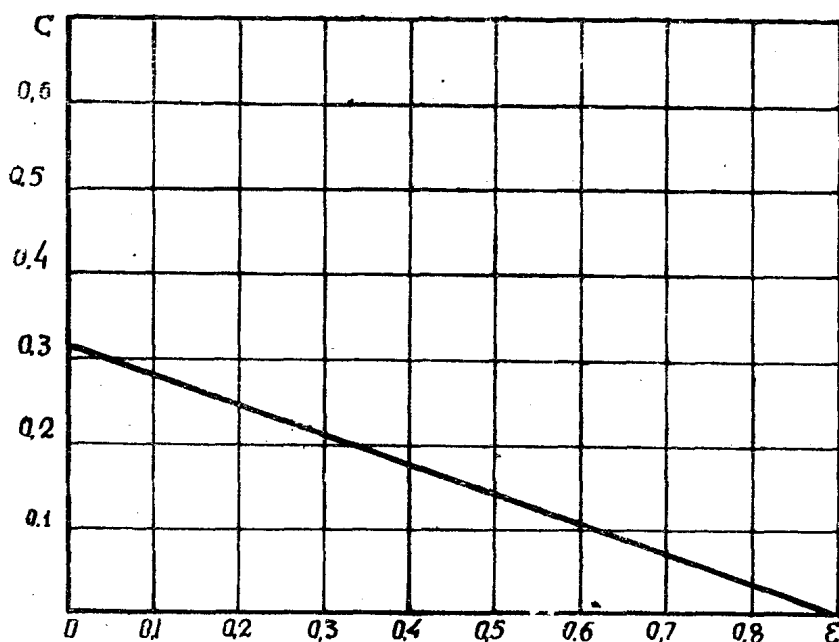
$$m_0 = m - \frac{\rho P_r(c + m)}{P_1}, \quad M_0 = M - \frac{P_2(c + M)}{P_r}, \quad \gamma_1 = \epsilon \cdot P_1, \quad \gamma_r = \epsilon \cdot P$$

$$\text{и } E = q + i\epsilon,$$

причем, в случае $q=0$ и $i=1$ имеем $E=\epsilon$, как это рекомендует, например, П. Г. Руфанов (Повышение эффективности работы речных паровых машин, 1946, стр. 51). Полагая $\frac{F_2}{F_1}=\delta$ — отношение объемов цилиндров, получаем [3] следующее уравнение:

$$(\rho b_1 - \delta i) P_r \cdot x + (\delta i m - \rho u_1 - \delta M - \delta q) P_r + (P_1 - i \delta P_2 b_2) x + P_2 \delta (u_2 - q b_2 - M b_2 + i m b_2) = 0 \quad (4)$$

Здесь u_2 и b_2 в ЦНД то же самое, что u_1 и b_1 в ЦВД, т. е. в ЦНД



Фиг. 2

$Z = u_2 - b_2 X$, где $X = E + M$, а $Z = C + M$. Уравнение (4) — гипербола. Для определения асимптот ее имеем

$$P_r = - \frac{F_1 x + K_1}{A_1 x + B_1} = - \frac{F_1}{A_1} - \frac{K_1 - \frac{B_1 F_1}{A_1}}{A_1 x + B_1}.$$

При $P_r = \infty$ для $x = -\frac{B_1}{A_1}$. При $x = \infty$ для $P_r = -\frac{F_1}{A_1}$. Необходи-

димую точку найдем, полагая $x=0$, когда $P_r = -\frac{K_1}{B_1}$. На фиг. 3 изоб-

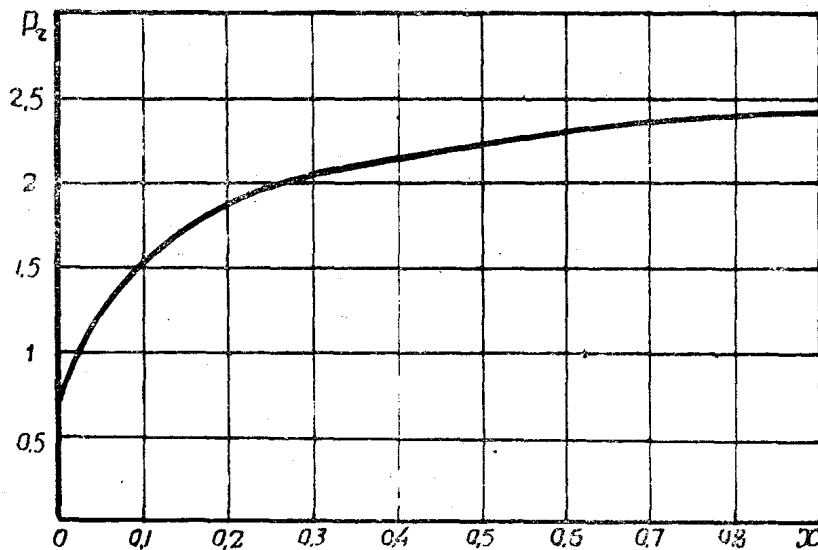
ражена гипербола, причем принято для частного примера: $\rho=1,05$; $b_1=0,35$; $i=1$; $M=m=0,08$; $u_1=0,42$; $q=0$; $P_1=10 \text{ ата}$; $P_2=0,2 \text{ ата}$; $b_2=0,35$; $u_2=0,42$; $\delta=4$.

Кривой переднего давления ЦВД $\sigma_{\text{цвд}} \cdot K_1 P_1$, как функции x , может быть та же гипербола $K_1 = f_1(x)$, если за масштаб чертежа принять масштаб фиг. 1, уменьшенный в $\sigma_{\text{цвд}} \cdot P_1$ раз. Перемножение ординат гиперболы $P_r = f_2(x)$ на соответственные ординаты гиперболы $K_r = f(z)$ для одних и тех же абсцисс x (фиг. 1) дает кривую изменения заднего давления в ЦВД $\sigma_{\text{цвд}} \cdot \rho \cdot K_r P_r$ в функции x , причем ординаты последней кривой долж-

ны быть отложены в том же масштабе, как и кривая $\sigma_{цнд} \cdot K_1 \cdot P_1$. Разность ординат кривых

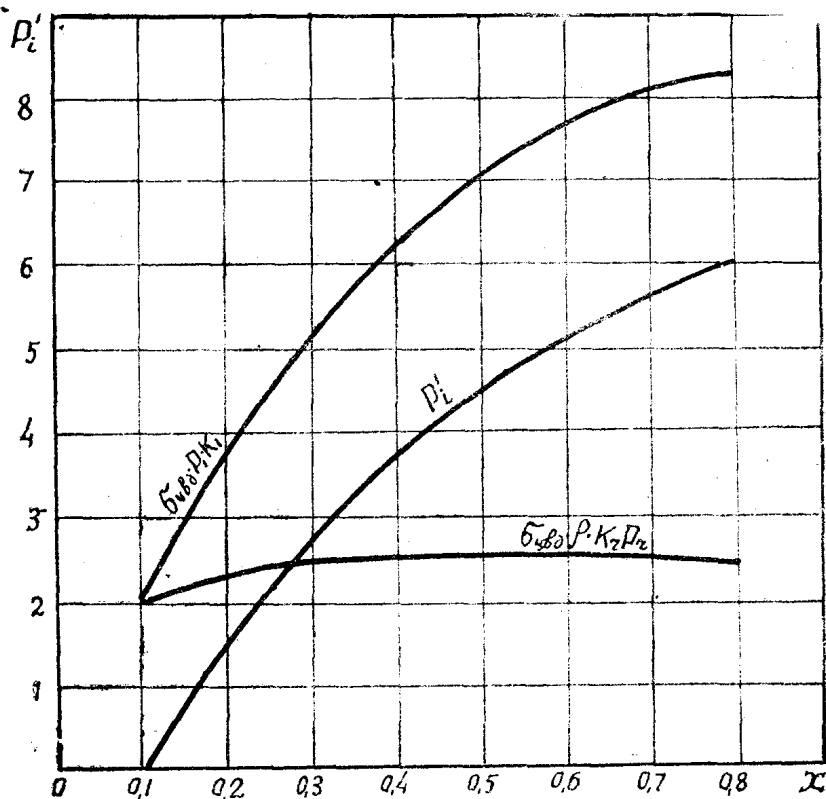
$$(\sigma_{цнд} \cdot K_1 \cdot P_1 - \sigma_{цнд} \cdot K_r \cdot p \cdot P_r)$$

на фиг. 4 для любого значения x определяет величину среднего индикаторного давления P_i' в ЦВД, как функции x .



Фиг. 3

Аналогично ведем построение для кривых переднего и заднего давлений в ЦНД, исходя из основного уравнения $P_i'' = \sigma_{цнд}(K_1 P_r - K_2 P_2)$. Здесь $K_1 = f_1(x)$ есть та же самая гипербола $K_1 = f_1(x)$, как на фиг. 1, пользо-

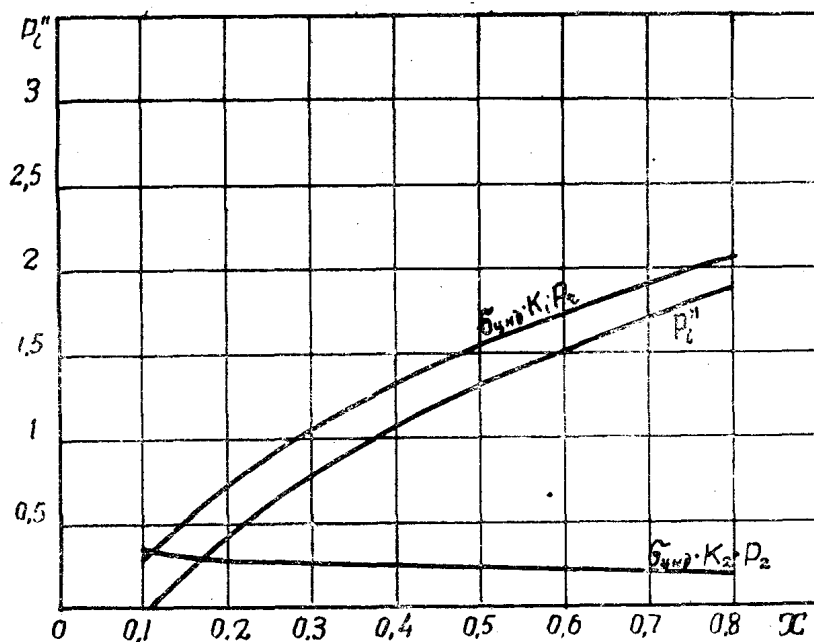


Фиг. 4

ваться которой надлежит, однако, так, чтобы по заданным значениям $X = E + M$ на отрицательной оси ординат (4 квадрант) на положительной оси абсцисс (первый квадрант) находить соответственные значения x , пользуясь прямой

$$X = E + M = q + M - im + ix = Q + ix,$$

построенной в четвертом квадранте, а по значениям x отыскивать отвечающие им величины ординат (в первом квадранте) по гиперболе K_1 на фиг. 1. Помножая последние ординаты на ординаты кривой $P_r = f_2(x)$ на фиг. 3 для одних и тех же значений x и откладывая произведения в масштабе фиг. 4, получим кривую изменения переднего давления в ЦНД



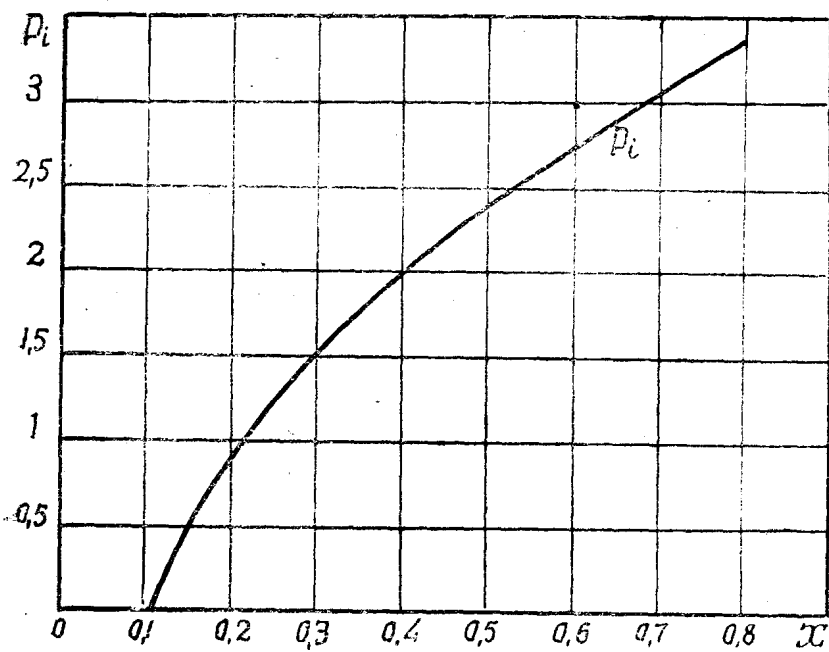
Фиг. 5

$\sigma_{цнд} \cdot K_1 \cdot P_r$, как функции x (фиг. 5). Тут же строим кривую $\sigma_{цнд} \cdot K_2 \cdot P_2$, как произведение $\sigma_{цнд} \cdot P_2$ на $K_2 = f_5(x)$, для чего пользуемся фиг. 1, где по данной величине $X = E + M$ находим x , а через последнюю величину отыскиваем Z , значениям которого соответствуют определенные величины $K_2 = K_r$. Ординаты кривой $\sigma_{цнд} \cdot K_2 \cdot P_2 = f_6(x)$ откладываем на фиг. 5 в масштабе фиг. 4. Разность ординат $\sigma_{цнд} \cdot K_1 \cdot P_r - \sigma_{цнд} \cdot K_2 \cdot P_2$ дает P_i' в функции x . На фиг. 6 построена кривая изменения совокупного среднего индикаторного давления

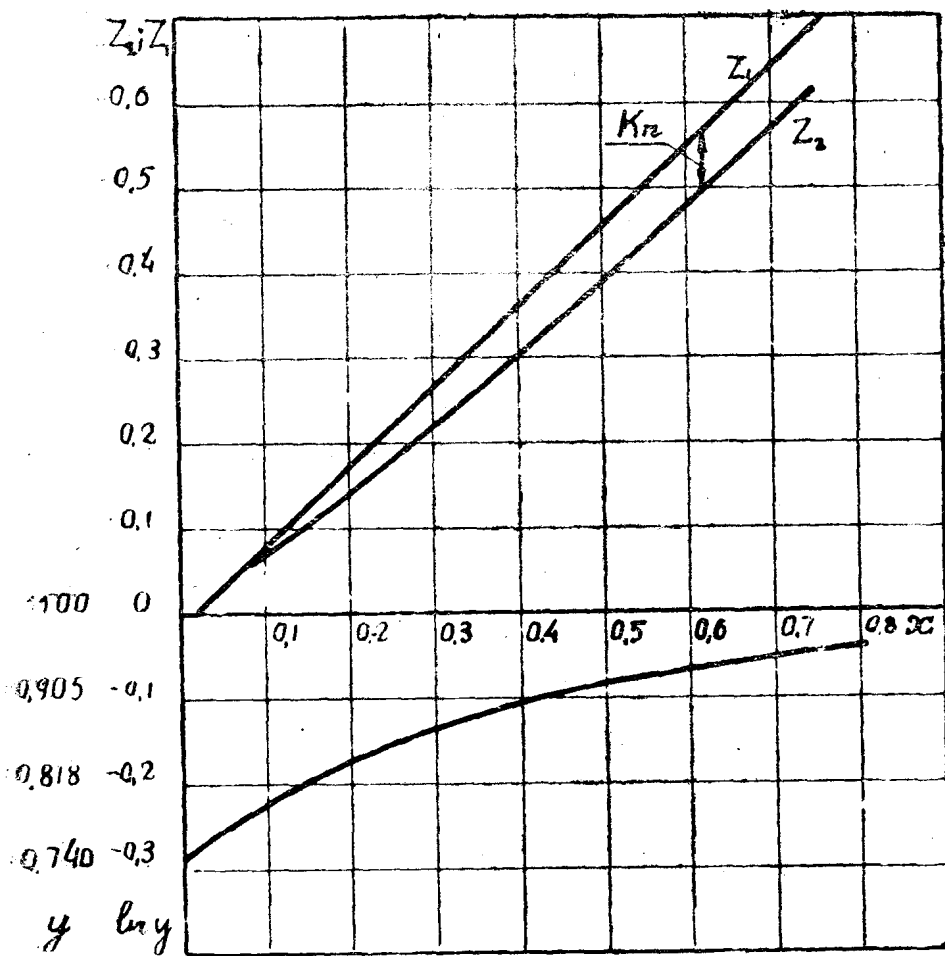
$$P'_i = \frac{P_i'}{\delta} + P_i''$$

как функция x .

На разобранный пример надо смотреть как на частный случай, иллюстрирующий общий метод решения такой довольно сложной задачи переменного режима паровой машины. Не надо при этом упускать из вида, что построение гипербол коэффициентов переднего и заднего давлений может быть выполнено раз навсегда для разных значений вредных пространств. Специфическими же являются кривые зависимости между степенями наполнения и сжатия ЦВД и ЦНД, а также, в связи с этим, кривые среднего ресиверного давления в зависимости от x в ЦВД.



Фиг. 6



Фиг. 7

В случае применения перегретого пара усредняющий коэффициент переднего давления имеет вид

$$K_n = \alpha_{цвд} \cdot \varepsilon + \frac{\beta_{цвд}}{n-1} (\varepsilon + m) \left[1 - \left(\frac{\varepsilon + m}{1 + m} \right)^{n-1} \right].$$

Здесь n — показатель политропы, зависящий от давления и температуры пара. Назовем

$$y = \left(\frac{\varepsilon + m}{1 + m} \right)^{n-1}.$$

Тогда

$$\ln y = (n-1) \ln x - (n-1) \ln(1+m).$$

Вводя коэффициент $\psi_n \geq 2$ и разлагая в строку $\ln \psi_n x$, получаем после преобразований

$$\ln y = (n-1) \left[2 \left(1 - \frac{2}{\psi_n x + 1} \right) - \ln \psi_n (1+m) \right].$$

Асимптота гиперболы при $\ln y = \infty$ будет

$$x = -\frac{1}{\psi_n},$$

а при $x = \infty$

$$\ln y = (n-1) [2 - \ln \psi_n (1+m)].$$

Если $x = 0$, то

$$\ln y = (n-1) [-2 - \ln \psi_n (1+m)].$$

На оси ординат против значений $\ln y$ надо поставить их числа и построить зависимость $y = f(x)$. В результате получаем

$$K_n = x \left(\alpha_{цвд} + \frac{\beta_{цвд}}{n-1} \right) - \alpha_{цвд} \cdot m - \frac{\beta_{цвд}}{n-1} x y = Z_1 - Z_2,$$

причем

$$Z_1 = x \left(\alpha_{цвд} + \frac{\beta_{цвд}}{n-1} \right) - \alpha_{цвд} \cdot m \text{ — уравнение прямой.}$$

Кривые

$$Z_2 = \frac{\beta_{цвд}}{n-1} x y$$

в зависимости от x можно построить для разных значений n . Тогда значения для K_n получаем, как указано на фиг. 7.

Уравнение (3) для постоянства весового количества пара, проходящего через машину, в случае перегретого пара, переписывается в виде

$$\frac{T_1}{T_{пер}} \cdot \gamma_1 F(m_0 + \varepsilon) = \gamma_2 F_2(M_0 + E),$$

где T_1 и $T_{пер}$ — абсолютные температуры насыщенного и перегретого пара начального давления в ЦВД. В соответствии с этим гипербола $P_r = f_2(x)$ на фиг. 3 займет другое положение и получатся изменения положения кривых $\sigma_{цвд} \cdot \rho \cdot K_r \cdot P_r$ и P_i' на фиг. 4.

В заключение необходимо заметить, что при изменениях степеней ε и E наполнения в ЦВД и в ЦНД будут меняться в какой-то мере коэффициенты α , β и σ , что может быть определено только опытным путем. В соответствии с обобщением опытных материалов потребуется, вероятно, внести некоторые поправочные коэффициенты к значениям P'_i и P''_i , полученным на основе вышеизложенных соображений.

ЗАМЕЧЕННЫЕ ОПЕЧАТКИ

Стр.	Строка	Напечатано	Следует
24	2 снизу	$\gamma_r = S \cdot P$	$\gamma_r = S P_r$
41	4 сверху	цитированная	цитированная
57	5 сверху	термо-и гидродинамические	термо- и гидродинамические
69	11 снизу	теплоносителя	теплоносителя
85	10 снизу	$\frac{dV}{d\alpha} =$	$0 = \frac{dV}{d\alpha} =$
102	17 снизу	бессейнов	бассейнов
178	фиг. 1	в процесс	в процессе
185	14, 15, 17 снизу	э	е
204	7 сверху	огд	год
210	6 снизу	где $860 N_{mk} = 860 (N_{ik} - N_{k})$	где $860 N_{mk} = 860 (N_{ik} - N_{ek})$
211	9 сверху	$N_{k} = N_{k} + N_{no}$	$N_{\varepsilon} = N_{ek} + N_{\varepsilon no}$
211	18 сверху	$D_k = \frac{860 N_{k}}{(i_0 - i_k) \eta_m \eta_z} =$	$D_k = \frac{860 N_{ek}}{(i_0 - i_k) \eta_m \eta_z} =$